

تخمین حالت توسط تجزیه متعامد:
 "State Estimation By orthogonal Decomposition"

در صورتی که $N_m > N_x$ باشد، آنگاه تخمین حالت عبارت است از:

$$X^{est} = \left[[H]^T [R]^{-1} [H] \right]^{-1} \cdot [H]^T [R]^{-1} z^{meas}$$

این امکان وجود دارد که ماتریس $[H]^T [R]^{-1} [H]$ منفرد (singular) گردد، لذا می‌توان از روش تجزیه متعامد ماتریس $[R]$ استفاده را حل نمود.

$$[R]^{-1} = [R]^{-1/2} \cdot [R]^{-1/2}$$

$$[R]^{-1/2} = \begin{bmatrix} \frac{1}{\sigma_{m1}} & & & \\ & \frac{1}{\sigma_{m2}} & & \\ & & \ddots & \\ & & & \frac{1}{\sigma_{mn}} \end{bmatrix}$$

$$\left[[H]^T [R]^{-1} [H] \right]^{-1} = \left[\underbrace{[H]^T}_{H'^T} \cdot \underbrace{[R]^{-1/2}}_{R'} \cdot \underbrace{[R]^{-1/2}}_{R'} \cdot [H] \right]^{-1} = \left[H'^T \cdot H' \right]^{-1}$$

$$\Rightarrow X^{est} = \left[H'^T \cdot H' \right]^{-1} \cdot [H'] z^{meas}$$

$$z^{meas} \triangleq [R]^{-1/2} z$$

در تجزیه QR (Gram-Schmidt Decomposition) داریم:

$$[H'] = [Q][U]$$

(یعنی R از ماتریس U استفاده شده چونکه R را وارینس فقط تعریف نمودیم.)

$$Q^T Q = I$$

ماتریس متعامد

ماتریس بالامثلثی (upper triangular)

$$\Rightarrow x^{est} = \underbrace{[U^T Q^T Q U]^{-1}}_I \cdot [U]^T \cdot \underbrace{[Q]}_{\hat{Z}} \cdot z'$$

$$\Rightarrow x^{est} = [U^T U]^{-1} \cdot [U]^T \cdot \hat{Z}$$

$$[U^T U] x^{est} = [U]^T \cdot \hat{Z}$$

$$\Rightarrow [U] x^{est} = \hat{Z}$$

معنای سوال:

فرض کنید

$$H' = [Q][U] = \begin{bmatrix} q_{11} & q_{12} & q_{13} \\ q_{21} & q_{22} & q_{23} \\ q_{31} & q_{32} & q_{33} \end{bmatrix} \cdot \begin{bmatrix} u_{11} & u_{12} \\ 0 & u_{22} \\ 0 & 0 \end{bmatrix}$$

$$H = \begin{bmatrix} h_{11} & h_{12} \\ h_{21} & h_{22} \\ h_{31} & h_{33} \end{bmatrix}$$

$$\begin{bmatrix} u_{11} & u_{12} \\ 0 & u_{22} \\ 0 & 0 \end{bmatrix} \begin{bmatrix} x_1^{est} \\ x_2^{est} \end{bmatrix} = \begin{bmatrix} \hat{z}_1 \\ \hat{z}_2 \\ \hat{z}_3 \end{bmatrix} \Rightarrow$$

$$\begin{cases} x_2^{est} = \frac{\hat{z}_2}{u_{22}} \\ x_1^{est} = \frac{1}{u_{11}} (\hat{z}_1 - u_{12} x_2^{est}) \end{cases}$$

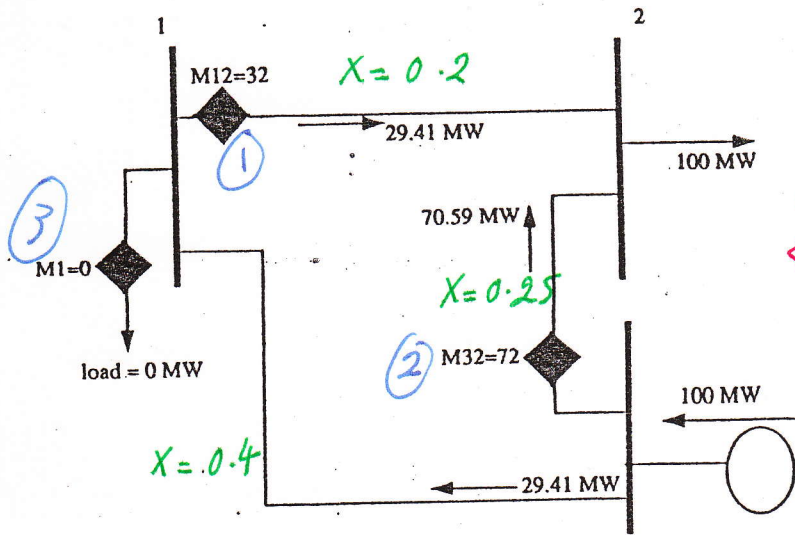


FIG. 12.13 Zero injection system example.

$$\begin{cases} M_{12} = \frac{1}{0.2} (\theta_1 - \theta_2) \\ \quad = 5\theta_1 - 5\theta_2 \\ M_{32} = \frac{1}{0.25} (\theta_3 - \theta_2) \\ \quad = -4\theta_2 \\ M_1 = \frac{1}{0.2} (\theta_1 - \theta_2) + \\ \quad \frac{1}{0.4} (\theta_1 - \theta_3) = \\ \quad 7.5\theta_1 - 5\theta_2 \end{cases}$$

load or generation attached to it, then we know this value of zero MW with certainty and the concept of an error in its "measured" value is meaningless. Nonetheless, we proceed by setting up the standard state estimator equations and specifying the value of the measurement σ for M_1 as: $\sigma_{M1} = 10^{-2}$. This results in the following solution when using the state estimator equations as shown in Eq. 12.23:

P_{flow} estimate on line 1-2 = 30.76 MW

P_{flow} estimate on line 3-2 = 72.52

Injection estimate on bus 1 = 0.82

The estimator has not forced the bus injection to be exactly zero; instead, it reads 0.82 MW. This may not seem like such a big error. However, if there are many such buses (say 100) and they all have errors of this magnitude, then the estimator will have a large amount of load allocated to the buses that are known to be zero.

At first, the solution to this dilemma may seem to be simply forcing the σ value to a very small number for the zero injection buses and rerun the estimator. The problem with this is as follows. Suppose we had changed the zero injection σ to $\sigma_{M1} = 10^{-10}$. Hopefully, this would force the estimator to make the zero injection so dominant that it would result in the correct zero value coming out of the estimator calculation. In this case, the $[H^T R^{-1} H]$ matrix used in the standard least-squares method would look like this for the

$\sigma_{M1} = a$

sample system:

$$[H] = \begin{bmatrix} 5.0 & -5.0 \\ 0 & -4.0 \\ 7.5 & -5.0 \end{bmatrix}$$

$$[R] = \begin{bmatrix} 10^{-4} & & \\ & 10^{-4} & \\ & & 10^{-20} \end{bmatrix}$$

$$[H^T R^{-1} H] = \begin{bmatrix} 56.25 \times 10^{20} & -37.5 \times 10^{20} \\ -37.5 \times 10^{20} & 25.0 \times 10^{20} \end{bmatrix}$$

est $X = [H^T R^{-1} H]^{-1} H^T R^{-1} \text{meas}$

then

Unfortunately, this matrix is very nearly singular. The reason is that the terms in the matrix are dominated by those terms which are multiplied by the 10^{20} terms from the inverse of the R matrix, and the other terms are so small by comparison that they are lost from the computer (unless one is using an extraordinarily long word length or extra double precision). When the above is presented to a standard matrix inversion routine or run into a Gaussian elimination solution routine, an error message results and garbage comes out of the estimator.

The solution to this dilemma is to use another algorithm for the least-squares solution. This algorithm is called the orthogonal decomposition algorithm and works as follows.

12.5.1 The Orthogonal Decomposition Algorithm

This algorithm goes under several different names in texts on linear algebra. It is often called the QR algorithm or the Gram-Schmidt decomposition. The idea is to take the state estimation least-squares equation, Eq. 12.23, and eliminate the R^{-1} matrix as follows: let

where $[R^{-1}] = R^{-1/2} R^{-1/2}$ (12.47)

$$[R^{-1/2}] = \begin{bmatrix} \frac{1}{\sigma_{m1}} & & \\ & \frac{1}{\sigma_{m2}} & \\ & & \frac{1}{\sigma_{m3}} \end{bmatrix}$$

(12.48)

then

$$[H^T R^{-1} H]^{-1} = [H^T R^{-1/2} R^{-1/2} H]^{-1} = [H^T H]$$

(12.49)

7.-b

where c' and s' are determined from $[N_1][H]$. Similarly for $[N_3]$:

$$[N_3] = \begin{bmatrix} 1 & 0 & 0 \\ 0 & c'' & s'' \\ 0 & -s'' & c'' \end{bmatrix} \quad (12.72)$$

For our zero injection example, we start with the $[H]$ and $[R]$ matrices as shown before:

$$[H] = \begin{bmatrix} 5.0 & -5.0 \\ 0 & -4.0 \\ 7.5 & -5.0 \end{bmatrix}$$

and

$$[R] = \begin{bmatrix} 10^{-4} & & \\ & 10^{-4} & \\ & & 10^{-20} \end{bmatrix}$$

Then, the $[H']$ matrix is

$$[H'] = \begin{bmatrix} 5.0 \times 10^2 & -5.0 \times 10^2 \\ 0 & -4.0 \times 10^2 \\ 7.5 \times 10^{10} & -5.0 \times 10^{10} \end{bmatrix}$$

$$\hat{Z} = \begin{bmatrix} 32 \\ 72 \\ 0 \end{bmatrix}$$

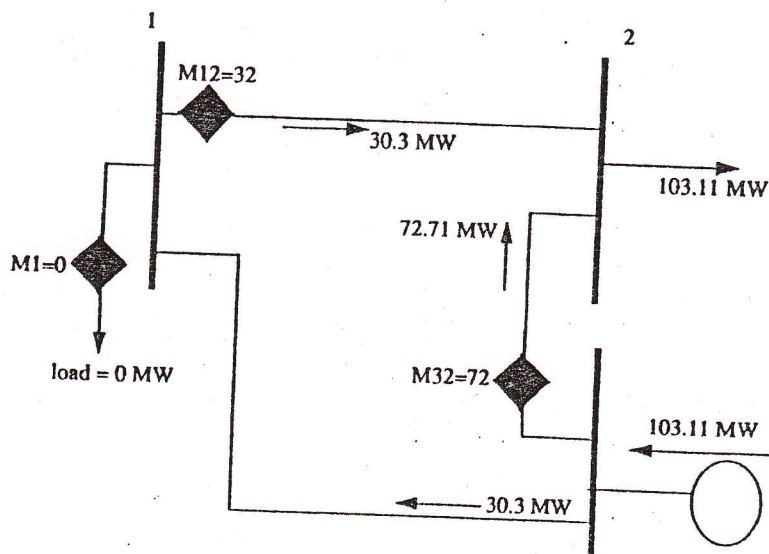


FIG. 12.14 State estimate resulting from orthogonal decomposition algorithm.

Y_o-c

and

The
the i
T
ment
num
it a t

12.6

12.6.1

The a
power
incom
longe
and a
but le
seriot
refere
applic
To
notion
state
measu
has be
to clo
measu
expect

Wh

The
also a
respect

* آشکارسازی و تشخیص اندازه گیری نامناسب :
 Detection and Identification of Bad
 Measurements

• آشکارسازی و تشخیص اندازه گیری نامناسب بر این بهره برداری
 از وسیع های قدرت بسیار مفید و ارز شونده می باشد.

• مدل های اندازه گیری ممکن است بصورت غیر صحیح متصل شده و یا اینکه معیوب باشند.

• برای آشکارسازی اندازه گیری نامناسب از مفهوم حس (intuitive notion)

استفاده شده، بگونه ای که بعد از همگامی الگو بین تخمین، اگر اندازه گیری نامناسبی
 وجود نداشته باشد، $J(x)$ کمتر از مقدار را خواهد داشت.

• خط های اندازه گیری، اعداد تصادفی هستند، بگونه ای که مقدار $J(x)$ نیز

یک عدد تصادفی است. اگر تمام خط ها را در تابع چگالی احتمال نرمال

باشند، در این صورت، $J(x)$ تابع چگالی احتمال، توان تقویم مربع

کی $(K^2(x))$ می باشد.

• پارامتر K ، درجه آزادی توزیع توان تقویم کی می باشد، بگونه ای که :

$$K = N_m - N_s$$

↓
تعداد اندازه گیری ها

→ تعداد حالت ها و $N_s = 2n - 1$

↓
تعداد سن ها

یاد آید: توزیع مربع کی "chi-square Distribution"

• اگر نمونه‌ها n تایی مرتباً از یک جامعه نرمال با واریانس σ^2

$$\left(s^2 = \frac{\sum_{i=1}^n (x_i - \bar{x})^2}{n-1} \right) \text{ واریانس نمونه } s^2$$

برای هر نمونه می‌تواند گردد، مقادیر آماره s^2 بدست خواهد آمد. توزیع

نمونه s^2 استفاده نمی‌کند، لذا بجای آن توزیع متغیر تصادفی χ^2

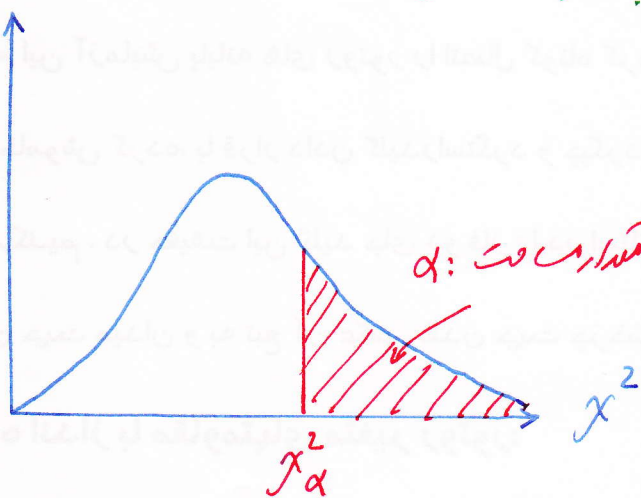
را می‌تواند مورد استفاده قرار دهد. معروف به مربع کی یا توان دوم کی می‌باشد. مقدار آن

برای هر نمونه از رابطه زیر می‌تواند گردد.

$$\chi^2 = \frac{(n-1) s^2}{\sigma^2}$$

• توزیع χ^2 دارای $\nu = n-1$ درجه آزادی است.

• مقدار χ^2 نمی‌تواند منفی باشد، لذا نمی‌تواند حول $\chi^2 = 0$ تقارن داشته باشد.



χ^2_α مقداری از توزیع χ^2 بوده که مساحت α را در سمت راست خود دارد.

$$Pr(\chi^2_{0.025} < \chi^2 < \chi^2_{0.975}) = 95\%$$

$$Pr(\chi^2_{0.005} < \chi^2 < \chi^2_{0.995}) = 99\%$$

- مقدار متوسط $J(x)$ برابر K و انحراف معیار آن مساوی $\sqrt{2K}$ باشد،
مغایبی که $x = x^{est}$

- مغایبی که تعدادی از اندازه‌گیریها نامناسب باشند، خط‌های آنها بزرگتر از مقدار $\pm 3\sigma$ خواهد بود. با این وجود تحت شرایط عادی (خط‌ها در محدوده $\pm 3\sigma$ باشند)، $J(x)$ می‌تواند بزرگ شود هر چند که احتمال وقوع آن کم باشد.

- اگر سقفی را برابر $J(x)$ به نام t_j در نظر بگیریم، می‌توان گفت زمانی که اندازه‌گیری نامناسب وجود دارد که $t_j > J(x)$ باشد.

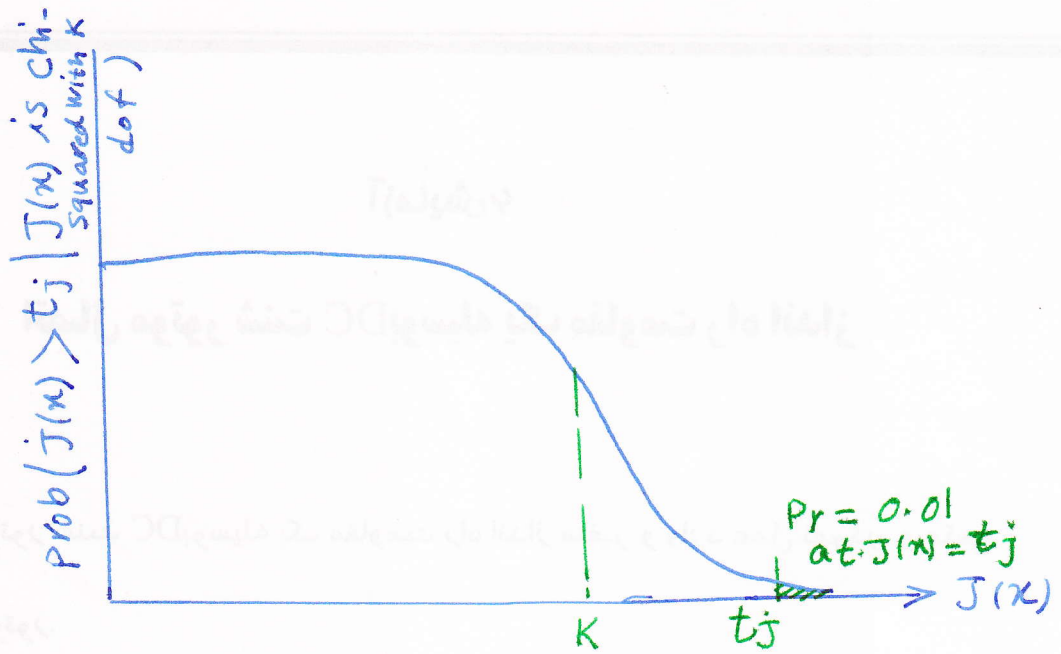
• به عبارتی داریم:

$$P_r (J(x) > t_j \mid J(x) \text{ is a chi-squared with } K \text{ dof}) = \alpha$$

- معادله مذکور بیان می‌دارد که در صورتی که چگالی احتمال $J(x)$ بصورت مربعی و K درجه آزادی باشد، احتمال اینکه $J(x)$ بزرگتر از t_j باشد برابر α می‌باشد.

- با انتخاب مقدار α ، سقف مورد استفاده t_j را در آزمون تعیین می‌کنیم. هنگامی که t_j انتخاب شود، احتمال افتار اندازه‌گیری نامناسب مساوی α است.

- اگر α را کوچک و برابر 0.05 انتخاب کنیم، گفته می‌شود که احتمال رخداد مغایر تنها در مورد 1٪ آزمون است انجام شده بوقوع می‌پیوندد.



* با توجه به مثال قبلی (شبه نشت سینت) داریم:

تکرار	$J(x)$
1	3696.86
2	43.67
3	40.33

ملاحظه شود، حداقل مقدار $J(x)$

برابر 40.33 می باشد.

$$\begin{cases} N_m = 62 & \text{تعداد وسیله اندازه گیری} \\ N_s = 2n - 1 = 11 & \Rightarrow K = N_m - N_s = 51 \\ \quad \downarrow \\ \quad 6 \end{cases}$$

* اگر سطح تشخیص (significance level) آماری $\alpha = 0.01$ در

نظر بگیریم، برابر t_j مقدار 76.6 در توزیع توان توکم با $K=51$ درجه آزادی

بیست می آید. چون $J(x) = 40.33$ کوچکتر از 76.6 می باشد، لذا اندازه گیری

نا مناسب وجود ندارد.

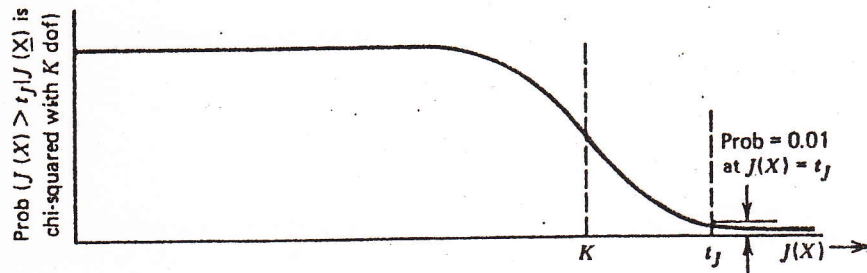


FIG. 12.15 Threshold test probability function.

we see that N_m is equal to 62. Therefore, the degrees of freedom for the chi-square distribution of $J(x)$ in our six-bus sample system is

$$K = N_m - N_s = N_m - (2n - 1) = 51$$

where

$$N_m = 62 \quad \text{and} \quad n = 6$$

If we set our significance level for this test to 0.01 (i.e., $\alpha = 0.01$ in Eq. 12.73), we get a t_j of 76.6.* Therefore, with a $J(x) = 40.33$, it seems reasonable to assume that there are no "bad" measurements present.

Now let us assume that one of the measurements is truly bad. To simulate this situation, the state estimation algorithm was rerun with the M_{12} measurement reversed. Instead of $P = 31.5$ and $Q = -13.2$, it was set to $P = -31.5$ and $Q = 13.2$. The value of $J(x)$ and the maximum $\Delta|E|$ and $\Delta\theta$ for each iteration for this case are given in Table 12.5. The presence of bad data does not prevent the estimator from converging, but it will increase the value of the residual, $J(x)$.

The calculated flows and voltages for this situation are shown in Table 12.6. Note that the number of degrees of freedom is still 51 but $J(x)$ is now 207.94 at the end of our calculation. Since t_j is 76.6, we would immediately expect bad

TABLE 12.5 Iterative Results with Bad Measurement

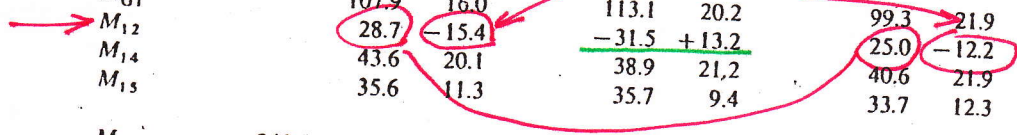
Iteration	$J(x)$ at Beginning of Iteration (pu)	Largest $\Delta E $ at End of Iteration (pu V)	Largest $\Delta\theta$ at End of Iteration (rad)
1	3701.06	0.09851	0.06416
2	211.13	0.004674	0.001481
3	207.94 76.6	0.00002598	0.00004848

* Standard tables of $\chi^2(K)$ usually only go up to $K = 30$. For $K > 30$, a very close approximation to $\chi^2(K)$ using the normal distribution can be used. The student should consult any standard reference on probability and statistics to see how this is done.

vc-a

TABLE 12.6 State Estimation Solution with Measurement M_{12} Reversed

Measurement	Base-Case Value			Measured Value			Estimated Value		
	kV	MW	MVAR	kV	MW	MVAR	kV	MW	MVAR
M_{V1}	241.5			238.4			240.6		
M_{G1}		107.9	16.0		113.1	20.2		99.3	21.9
M_{12}		28.7	-15.4		-31.5	+13.2		25.0	-12.2
M_{14}		43.6	20.1		38.9	21.2		40.6	21.9
M_{15}		35.6	11.3		35.7	9.4		33.7	12.3
M_{V2}	241.5			237.8			239.9		
M_{G2}		50.0	74.4		48.4	71.9		54.4	67.0
M_{21}		-27.8	12.8		-34.9	9.7		-24.4	9.2
M_{24}		33.1	46.1		32.8	38.3		35.0	44.1
M_{25}		15.5	15.4		17.4	22.0		16.3	14.7
M_{26}		26.2	12.4		22.3	15.0		25.1	11.3
M_{23}		2.9	-12.3		8.6	-11.9		2.3	-12.2
M_{V3}	246.1			250.7			244.6		
M_{G3}		60.0	89.6		55.1	90.6		61.4	86.3
M_{32}		-2.9	5.7		-2.1	10.2		-2.3	5.8
M_{35}		19.1	23.2		17.7	23.9		+20.5	22.2
M_{36}		43.8	60.7		43.3	58.3		43.2	58.2
M_{V4}	227.6			225.7			226.1		
M_{L4}		70.0	70.0		71.8	71.9		69.0	70.0
M_{41}		-42.5	-19.9		-40.1	-14.3		-39.6	-21.9
M_{42}		-31.6	-45.1		-29.8	-44.3		-33.5	-43.1
M_{45}		4.1	-4.9		0.7	-17.4		4.1	-5.0
M_{V5}	226.7			225.2			225.3		
M_{L5}		70.0	70.0		72.0	67.7		71.8	69.3
M_{54}		-4.0	-2.8		-2.1	-1.5		-4.1	-2.6
M_{51}		-34.5	-13.5		-36.6	-17.5		-32.7	-14.7
M_{52}		-15.0	-18.0		-11.7	-22.2		-15.8	-17.2
M_{53}		-18.0	-26.1		-25.1	-29.9		-19.3	-25.1
M_{56}		1.6	-9.7		-2.1	-0.8		0.1	-9.6
M_{V6}	231.0			228.9			230.0		
M_{L6}		70.0	70.0		72.3	60.9		66.9	66.7
M_{65}		-1.6	3.9		1.0	2.9		-0.1	3.9
M_{62}		-25.7	-16.0		-19.6	-22.3		-24.6	-15.0
M_{63}		-42.8	-57.9		-46.8	-51.1		-42.3	-55.6



measu
runnin
would
 $J(x)$ re
So
measu
measu
follow
Sup
particu
of the
in z_i is
functio
measur
approx
 x^{est} is a
we sho
which
functio
 z_i to in
accurat
The
the mea
for y_i is
and a st
 f_i and
measure
and is
which is
of y_i^{norm}
measur
to calcu
the state
 f_i values
Also, us
reference
normaliz
absolute
suspects
with the
ment ha
rerun. T
chi-squa
assuming
is now le

12-6

- تشخیص اندزده گیری نامناسب :

فرض کنید بخواهیم کسب خاص را اندزده گیری کنیم، این اندزده گیری را از آنجا بنامید.

تاج چکان احتمال از آن زمان به بعد. با توجه به اینکه فضای موجود در آن

دارای توزیع χ^2 مقدار میانگین صفر است، لذا تاج چکان احتمال در آن متمرکز است.

• چون خطاها دارای توزیع نرمال فرض شوند، لذا تخمین x^{est} نیز تقریباً با توزیع

نرمال χ^2 باشد همچنین هرکس که تابعی از x^{est} باشد، تقریباً دارای توزیع نرمال است.

• تفاوت بین تخمین f_i و اندزده گیری z_i را باقیمانده یا مانده اندزده گیری

(Measurement Residual) گویند و y_i نشان داده می شود. تاج چکان احتمال

y_i نیز نرمال است، که دارای میانگین صفر و لغراف معیار σ_{y_i} باشد.

اگر این تفاضل را به σ_{y_i} تقسیم کنیم، باقیمانده یا مانده نرمال شده اندزده گیری

$$y_i^{norm} = \frac{z_i - f_i^{est}}{\sigma_{y_i}}$$

• اگر قدر مطلق y_i^{norm} بزرگتر از 3 باشد، دلیل خوبی است که مشک داریم که از

یک مقدار نامناسب اندزده گیری است.

• ملاحظه معمول برابر تشخیص اندزده گیریهای نامناسب این است که موقعی که x^{est} از

تخمین نزدیک به تمام مقادیر z_i را برابر N_m اندزده گیری می بیند.

پس با استفاده از نتایجی که در تفسیر زنده استفاده شده اند، مانده

اندازه گیری نژاد را برابر هر اندازه گیری از هر سبب نمود. اندازه گیری نژاد که دلالی

حداکثر قدر مطلق مانده نژاد شده هستند، بعنوان مطلقون ها که در

اول شناخته می شوند. این مطلقون ها را یک به یک نژادهاست مربوط به تفسیر

بیرون می برند.

• بسیار آشکار سازی یک اندازه گیری نامناسب ممکن است لازم شود چندین اندازه گیری

کنندگذاشته شوند. لذا آشکار سازی اغلب نمی تواند یک اندازه گیری نامناسب

تنها را تشخیص دهد، بلکه گروهی از اندازه گیریها را تشخیص دهد که یکی از آنها

نامناسب است.

• توانایی در آشکار سازی با استفاده از آماره مربع کی و شناسایی آن با

استفاده از مانده نژاد شده، خواص بسیار مفید یک تفسیر زنده

حالت است.

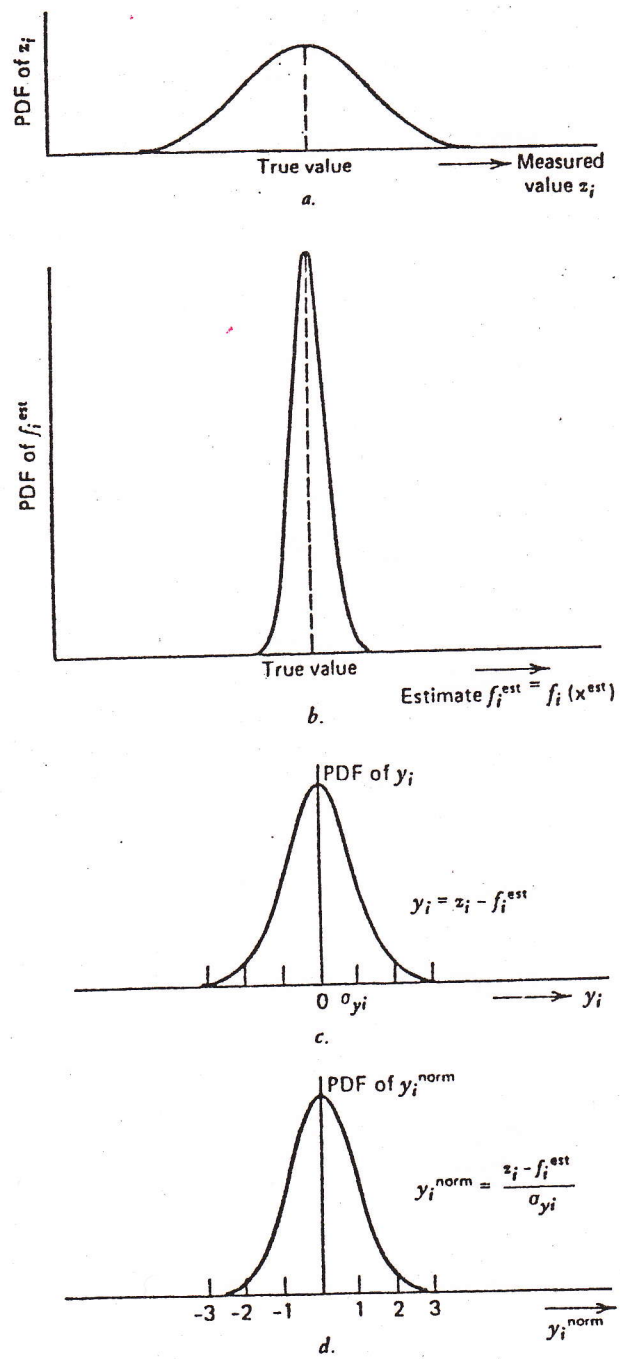


FIG. 12.16 Probability density function of the normalized measurement residual.

Fig-a

- تخصیص کمیت های که اندزه لیدر شده اند

مشخصه مفید ریدر یک تخصیص زنده، توانایی درهای سبب و تخصیص
مقاومتری است که آند قدری (دورنچی) نمی شوند. این ویژگی

به خصوص در حالاتی مفید است که گانه های فی برای که

مراکز بهره برداری را به تجهیزات کسب اطلاعات ارتباطی دهند،

خواب است.

• بعنوان مثال در شبکه سس شینه، فر فر کنند که تمام آند سترهای مربوط

به سسین های ۳، ۴، ۵ و ۶ به مرکز قطع گردند، بدین صورت فو اهمی است:

TABLE 12.7 State Estimation Solution with Measurement at Buses 1 and 2 Only

Measurement	Base-Case Value			Measured Value			Estimated Value		
	kV	MW	MVAR	kV	MW	MVAR	kV	MW	MVAR
M_{V1}	241.5			238.4			238.8		
M_{G1}		107.9	16.0		113.1	20.2	112 ←	112.4	20.5
M_{12}		28.7	-15.4		31.5	-13.2	30.4 ←	30.6	-13.4
M_{14}		43.6	20.1		38.9	21.2	44.8 ←	44.7	19.4
M_{15}		35.6	11.3		35.7	9.4	36.8 ←	37.1	14.6
M_{V2}	241.5			237.8			237.6		
M_{G2}		50.0	74.4		48.4	71.9	47.5 ←	48.2	71.7
M_{21}		-27.8	12.8		-34.9	9.7	-29.4 ←	-29.6	11.1
M_{24}		33.1	46.1		32.8	38.3	32.4 ←	30.5	40.2
M_{25}		15.5	15.4		17.4	22.0	15.6 ←	16.1	16.8
M_{26}		26.2	12.4		22.3	15.0	25.9 ←	22.4	15.2
M_{23}		2.9	-12.3		8.6	-11.9	3 ←	8.8	-11.7
M_{V3}	246.1				244.7 ←		241.4		
M_{G3}		60.0	89.6				59.5 ←	27.2	94.9
M_{32}		-2.9	5.7				-3 ←	-8.7	5.5
M_{35}		19.1	23.2				19.2 ←	15.1	25.3
M_{36}		43.8	60.7				43.3 ←	20.9	64.0
M_{V4}	227.6				226.1 ←		225.0		
M_{14}		70.0	70.0				70.2 ←	67.6	61.2
M_{41}		-42.5	-19.9				-43.6 ←	-43.6	-18.9
M_{42}		-31.6	-45.1				30.9 ←	-29.3	-39.7
M_{45}		4.1	-4.9				4.3 ←	5.3	-2.6
M_{V5}	226.7				225.3 ←		221.4		
M_{15}		70.0	70.0				71.8 ←	71.9	76.7
M_{54}		-4.0	-2.8				-4.2 ←	-5.2	-4.8
M_{51}		-34.5	-13.5				-35.6 ←	-35.9	-15.9
M_{52}		-15.0	-18.0				-15.1 ←	-15.5	-19.0
M_{53}		-18.0	-26.1				-18.1 ←	-14.0	-28.0
M_{56}		1.6	-9.7				1.3 ←	-1.4	-9.0
M_{V6}	231.0				230.1 ←		226.2		
M_{16}		70.0	70.0				68.9 ←	40.5	77.2
M_{65}		-1.6	3.9				-1.2 ←	1.4	3.4
M_{62}		-25.7	-16.0				-25.4 ←	-21.9	-18.8
M_{63}		-42.8	-57.9				-42.3 ←	-20.0	-61.8

فقط در این

MVA

رویت پذیرگی شبکه و اندازه گیری های مجازی و کازب :
"Network observability and pseudo-measurements"

اگر اطلاعات اندازه گیری را کم کنیم لزوم بدیم ، چگونه آن که تعداد کمتری اندازه گیری
در اختیار داشته باشیم ، در نهایت تعیین اثر از کار خواهد افتاد. بطوریکه ماتریس
 $[H^T \cdot R^{-1} \cdot H]$ بصورت منفرد درآمده و معکوس نخواهد داشت .

• اگر ارتباط با کانالها به علت موجود نباشد و به آنها جهت رویت شوند
سیستم نیاز باشد همچنان از طریق ارتباط تلفظی با اپراتور اتاق کنترل نیروگاه
لازم به فرآیند نمونه و اطلاعات را بصورت دستی وارد تعیین کننده نمود.
همچنین میتوان از سابقه قبلی استفاده کرد.

• تعیین کننده نباید اندازه گیری کازب و مجازی را با یک اندازه گیری
واقعی به جا آورد چرا که اغلب مقدار آن دقیق نیست و فقط
که از حدس بهتر است. جهت حل مشکل باید اغراف معیار بزرگی را به
این اندازه گیری نسبت دهیم. به عددی یک اندازه گیری با کیفیت خدی
ببینیم به جا آوریم.

• میتوان جهت اندازه گیری های کازب از بخش بار حالت پایه استفاده نمود

If we take the three-bus example used in the beginning of Section 12.2, we note that when all three measurements are used, we have a redundant set and we can use a least-squares fit to the measurement values. If one of the measurements is lost, we have just enough measurements to calculate the states. If, however, two measurements are lost, we are in trouble. For example, suppose M_{13} and M_{32} were lost leaving only M_{12} . If we now apply Eq. 12.23 in a straightforward manner, we get

$$M_{12} = f_{12} = \frac{1}{0.2} (\theta_1 - \theta_2) = 5\theta_1 - 5\theta_2$$

Then

$$[H] = [5 \quad -5]$$

$$[R] = [\sigma_{M_{12}}^2] = [0.0001]$$

and

$$\begin{aligned} \begin{bmatrix} \theta_1^{est} \\ \theta_2^{est} \end{bmatrix} &= \left[\begin{bmatrix} 5 \\ -5 \end{bmatrix} [0.0001]^{-1} [5 \quad -5] \right]^{-1} [5 \quad -5] [0.0001]^{-1} (0.55) \\ &= \begin{bmatrix} 2500 & -2500 \\ -2500 & 2500 \end{bmatrix}^{-1} [5 \quad -5] [0.0001]^{-1} (0.55) \end{aligned} \quad (12.74)$$

The matrix to be inverted in Eq. 12.74 is clearly singular and, therefore, we have no way of solving for θ_1^{est} and θ_2^{est} . Why is this? The reasons become quite obvious when we look at the one-line diagram of this network as shown in Figure 12.17. With only M_{12} available, all we can say about the network is that

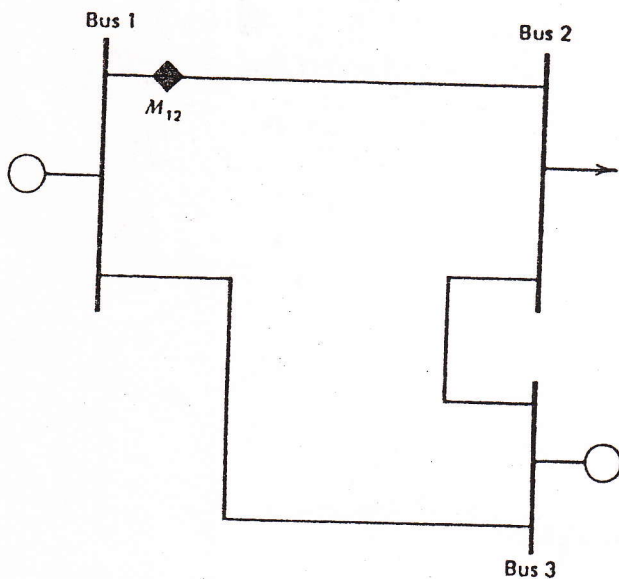


FIG. 12.17 "Unobservable" measurement set.

M_{12} فقط اندازه گیری را داشته باشد.
 $M_{12} = 0.55$ pu

- با تعیین یکی از مقادیر P_1 , P_2 یا P_3 لذا می توان مقادیر θ_1 و θ_2 را تعیین کرد.

$$\begin{aligned} P_1 &= 7.5\theta_1 - 5\theta_2 \\ P_2 &= -5\theta_1 + 9\theta_2 \\ P_3 &= -0.6P_1 + 1.87 \end{aligned}$$

TABLE 12.8 State Estimation Solution with Measurements at Bus 1 and Pseudo-measurements at Buses 2, 3, and 6

Measurement	Base-Case Value			Measured Value			Estimated Value		
	kV	MW	MVAR	kV	MW	MVAR	kV	MW	MVAR
M_{V1}	241.5			238.4			238.4		
M_{G1}		107.9	16.0		113.1	20.2	111.9 ←	111.4	19.5
M_{12}		28.7	-15.4		31.5	-13.2	30.4 ←	33.3	-12.5
M_{14}		43.6	20.1		38.9	21.2	44.8 ←	40.7	21.9
M_{15}		35.6	11.3		35.7	9.4	36.8 ←	37.4	10.1
M_{V2}	241.5						239.9 ←	236.2	
M_{G2}		50.0	74.4	Pseudo:	50.0	74.4	47.5 ←	37.5	67.7
M_{21}		-27.8	12.8				-29.4 ←	-32.1	10.5
M_{24}		33.1	46.1				32.4 ←	19.5	44.9
M_{25}		15.5	15.4				15.6 ←	14.1	11.5
M_{26}		26.2	12.4				25.9 ←	30.0	12.7
M_{23}		2.9	-12.3				3 ←	6.0	-11.9
M_{V3}	246.1						244.7 ←	240.5	
M_{G3}		60.0	89.6	Pseudo:	60.0	89.6	59.5 ←	52.6	86.6
M_{32}		-2.9	5.7				-3 ←	-6.0	5.7
M_{35}		19.1	23.2				19.2 ←	14.3	19.5
M_{36}		43.8	60.7				43.3 ←	44.2	61.4
M_{V4}	227.6						226.1 ←	223.8	
M_{L4}		70.0	70.0				70.2 ←	51.9	73.3
M_{41}		-42.5	-19.9				-43.6 ←	-39.6	-21.8
M_{42}		-31.6	-45.1				-30.9 ←	-18.3	-44.6
M_{45}		4.1	-4.9				4.3 ←	6.0	-6.9
M_{V5}	226.7						225.3 ←	224.0	
M_{L5}		70.0	70.0				71.8 ←	63.9	55.5
M_{54}		-4.0	-2.8				-4.2 ←	-5.9	-0.4
M_{51}		-34.5	-13.5				-35.6 ←	-36.3	-11.8
M_{52}		-15.0	-18.0				-15.1 ←	-13.7	-14.4
M_{53}		-18.0	-26.1				-18.1 ←	-13.6	-22.9
M_{56}		1.6	-9.7				1.3 ←	5.5	-5.9
M_{V6}	231.0						230.1 ←	224.9	
M_{L6}		70.0	70.0	Pseudo:	70.0	70.0	68.9 ←	77.9	73.4
M_{65}		-1.6	3.9				-1.2 ←	-5.5	0.3
M_{62}		-25.7	-16.0				-25.4 ←	-29.3	-15.6
M_{63}		-42.8	-57.9				-42.3 ←	-43.2	-58.1

1A-b

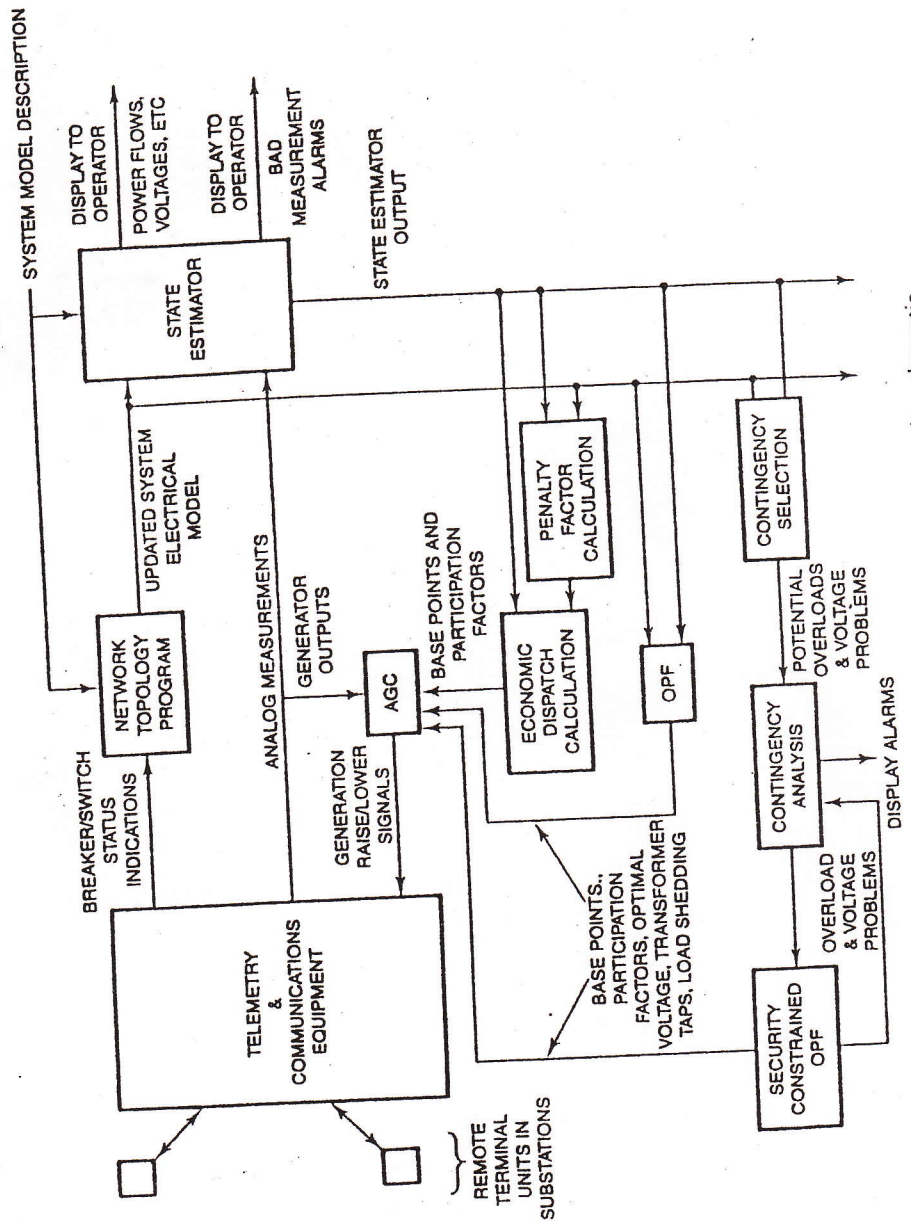


FIG. 12.19 Energy control center system security schematic.

13-C